

1より部材列の振れ抵抗を考慮する場合)

九州大学 正会員 小崎信也

九州大学 正会員 横大武

九州大学 学生員 O.金子忠男

1 緒言 著者らは先に、一辺が連続ばかりおよびラーメンにて弾性支持され、他辺が単純支持される矩形板の解法<sup>(1)</sup>を発表した。これらの論文では、ともに振から弾性支扱はりに垂直反対のみが伝達され曲げモーメントは伝達されない構造と定義した。(かくして、実際多見られる上下構造物、機械、船舶、建築物などには、たとえば鉄筋コンクリート床板のように、板とはりとが一併的に結合した構造が多々ある。) したがって、本研究は一辺ばかりラーメンにて弾性支持される矩形板における、文献(1)(2)で省略した板と弾性支扱はりとの間に伝達されるモーメントを考慮した場合の解法を提示し、かかる構造物の解析ならびに設計に資せんとするものである。なお、研究にあたり次のことを仮定する。  
 (a) 板は等方性等断面とする。  
 (b) 弾性支扱はりの曲げ剛性および振り剛性はその全長にわたり一定とする。

## 2 解法

## (1) 板のたわみ曲面

任意垂直荷重  $p(x, y)$  が作用する矩形板  $ACDB$  において、図-1に示すとく直交座標系  $(x, y, z)$  を導入すれば、板の基礎微分方程式よりえられるたわみ曲面の一般解は次式<sup>(2)</sup> とえられる。

$$w = \sum_{m=1}^{\infty} \sum_{n=1}^{\infty} (A_m \sinh \beta_m x + B_m \cosh \beta_m x + C_n \sinh \beta_n y + D_n \cosh \beta_n y) \sin \beta_m x \\ + \sum_{n=1}^{\infty} (A_n \sinh \beta_n x + B_n \cosh \beta_n x + C_m \sinh \beta_m y + D_m \cosh \beta_m y) \sin \beta_n y \\ + \sum_{m=1}^{\infty} \sum_{n=1}^{\infty} G_{mn} \sin \alpha_m x \sin \beta_n y \quad (1) \quad \text{ただし } \alpha_m = m\pi/a, \beta_n = n\pi/b, G_{mn} = f_{mn}/(D(\alpha_m^2 + \beta_n^2)^2), \\ f_{mn} = \frac{4}{ab} \int_0^a p(x, y) \sin \alpha_m x \sin \beta_n y dy dx, \quad D = \frac{E_p h^3}{12(1-\nu^2)}, \text{板剛度}, a, b, \text{边長}, h, \text{板厚}, E_p, \text{板の弾性係数}, \nu, \text{ボアソン比}, \\ A_m, B_m, C_m, D_m \text{ は } A_n, B_n, C_n, D_n \text{ 積分定数}, \sinh, \cosh, \text{双曲線関数 sinh, cosh の略称}$$

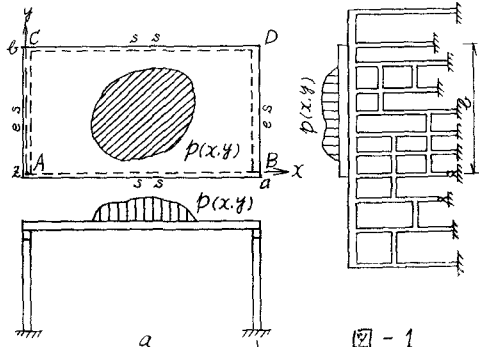


図-1

矩形板  $ACDB$  が辺  $AB$ ,  $CD$  で単純支持され、辺  $AC$ ,  $BD$  で板に直結したラーメンの 1 より部材列(以下、単に部材列と称す) 1-2 弾性支持されるとすれば、板の境界条件は次のとおりである。

$$\begin{aligned} y &= 0 \text{ 时}, w = 0, M_y = -D \left( \frac{\partial^2 w}{\partial y^2} + \nu \frac{\partial^2 w}{\partial x^2} \right)_{y=0} = 0 && \left. \begin{array}{l} \text{数 } A_m \sim D_m, A_n \sim D_n \text{ につい } て \text{ 連立方程式がえられ } \\ \text{る } \end{array} \right\} (2) \\ y &= b \text{ 时}, w = 0, M_y = -D \left( \frac{\partial^2 w}{\partial y^2} + \nu \frac{\partial^2 w}{\partial x^2} \right)_{y=b} = 0 \\ x &= 0 \text{ 时}, w = S_A(y) = \sum_{n=1}^{\infty} S_{An} \sin \beta_n y, && \left. \begin{array}{l} \text{れ } A_m = C_m = D_m = 0, \\ \text{れ } A_n = \frac{a(M_m + M_{bn} \sinh \beta_m b)}{2D_{bn} \sinh \beta_m b} - \frac{2C_{bn} \sinh \beta_m b + (1-\nu)S_{bn}}{2\beta_m^2 b} S_{An} \\ + \frac{2\alpha_m \beta_m + (1-\nu)\beta_m \sinh \beta_m b}{2\alpha_m^2 \beta_m^2 b} S_{Bn}, \\ B_n = -\frac{M_{bn} - (1-\nu)S_{bn}}{2D_{bn}} S_{An}, \\ C_n = S_{An}, \\ D_n = \frac{M_{bn} \sinh \beta_m b + M_{bn}}{2D_{bn} \sinh \beta_m b} + \frac{(1-\nu)S_{bn}}{2\alpha_m^2 \beta_m^2 b} (S_{An} \sinh \beta_m b - S_{Bn}), \quad \beta_m = m\pi/a, \\ S_{Bn} = \frac{M_{bn} \sinh \beta_m b - M_{bn}}{2D_{bn} \sinh \beta_m b} + \frac{(1-\nu)S_{bn}}{2\alpha_m^2 \beta_m^2 b} (S_{An} \sinh \beta_m b - S_{Bn}) \end{array} \right\} (3) \\ x &= a \text{ 时}, w = S_B(y) = \sum_{n=1}^{\infty} S_{Bn} \sin \beta_n y, \\ M_x &= -D \left( \frac{\partial^2 w}{\partial x^2} + \nu \frac{\partial^2 w}{\partial y^2} \right)_{x=a} = -M_b(y) = \sum_{n=1}^{\infty} M_{bn} \sin \beta_n y, && \left. \begin{array}{l} \text{れ } M_m = M_{bn} = 0, \\ M_{bn} = \frac{b(S_{An} \sinh \beta_m b + S_{Bn})}{2D_{bn} \sinh \beta_m b} + \frac{(1-\nu)S_{An}}{2\alpha_m^2 \beta_m^2 b} (S_{An} \sinh \beta_m b - S_{Bn}), \\ S_{An} = m\pi/a, \\ S_{Bn} = n\pi/b \end{array} \right\} (4) \end{aligned}$$

式(2)および式(3)に式(4)を代入すれば 積分定数

式(4)に含まれる  $S_{An}$ ,  $S_{Bn}$  および  $M_m$ ,  $M_{bn}$  は板とこれを支持する部材列との間に成立する次の 3 つ連続条件により決定される。  
 (i) 部材列小板反力  $T_A(y) = \{T_A(y)\}_{y=0}^b$   $T_B(y) = \{T_B(y)\}_{y=0}^b$  をそれぞれ小荷重と 1/2 受けた場合

合せた  $\delta(y)$  と式(3)の  $w$  とは相等(1)。iii)邊  $A, C, B, D$  に  $J; IT3$  板の  $x$  軸方向の回転角  $(\theta w/Jx)_{x=0}, (\partial w/\partial x)_{x=0}$  は、部材列がそれぞれ振りモーメント  $M_{A(y)}, M_{B(y)}$  を持つ場合に示す振れ回転角は等(1)。

邊  $A, C, B, D$  に  $J; IT3$  板反力  $V_A(y), V_B(y)$  は、式(4)を式(1)に代入してえられる結果を  $x$  軸方向の板反力  $V_A$  と  $V_B$  および  $w$  の関係式は代入のまゝ。 $x=0, x=a$  とおきこよどみの  $\delta(y)$  次の式とく求められる。

$$\begin{aligned} V_A(y) &= \sum_{n=1}^{\infty} V_{An} \sin \beta_n y \quad (5) \\ V_B(y) &= \sum_{n=1}^{\infty} V_{Bn} \sin \beta_n y \quad (5) \\ V_A(y) &= -D \left[ -J(\alpha_n) \frac{M_{An}}{D} - J(\alpha_n) \frac{M_{Bn}}{D} + R(\alpha_n) S_{An} + R(\alpha_n) S_{Bn} + \sum_{m=1}^{\infty} (-1)^m (a_m^2 + (2-\nu) B_m^2) \alpha_m G_{mn} \right] \quad (6) \\ J(\alpha_n) &= \frac{(1-\nu) \delta_n + (1+\nu) \sin \alpha_n \delta_n}{2 \pi k^2 \alpha_n} B_n, \quad (6) \\ J(\alpha_n) &= \frac{(1-\nu) \delta_n + (1+\nu) \sin \alpha_n \delta_n}{2 \pi k^2 \alpha_n} B_n, \quad (6) \\ R(\alpha_n) &= \frac{(1-\nu) \delta_n + (2+\nu) \cos \alpha_n \delta_n}{2 \pi k^2 \alpha_n} (1-\nu) B_n^2, \quad (6) \\ R(\alpha_n) &= \frac{(1-\nu) \delta_n + (3+2\nu) \cos \alpha_n \delta_n}{2 \pi k^2 \alpha_n} (1-\nu) B_n^2, \quad (6) \end{aligned}$$

他方、図-2(a)に示すごとく、ラーメンは長さ  $a$  なる部材列より板を支えるものとし、その中間の柱部材列番号を  $1, 2, \dots, i, \dots, l$ 、部材列端から各柱部材までの距離をそれぞれ、 $E, B, E, E, \dots, E, B, \dots, E, B$  とする。すなはち、部材列端に板から伝達される垂直荷重および振りモーメントを一般に、 $f(y), M_b(y)$  と表わし、部材列が沿中間柱部材の柱頭より受けける反力、すなはち  $x, y$  軸方向の反力をモーメントを、 $R_1, R_2, \dots, R_l, R_e; M_{1x}, M_{1y}, \dots, M_{lx}, M_{ly}; M_{1g}, M_{2g}, \dots, M_{ig}, M_{eg}$ 、柱端柱頭部材列の隣接スパンから受けける  $M_{bg}, M_{bgg}$  とする(図-2(b)(c)参照)。

かかるとき、部材列までの示すたわみ曲線  $\delta(y)$ 、および振れ回転角  $\theta(y)$  は、それぞれフーリエ級数を用いて次の式とく表わされる(文献(3),(4)参照)。

$$\delta(y) = \frac{E^2}{EI^4 \pi^2} \sum_{n=1}^{\infty} \frac{1}{n^2} H_n \sin \beta_n y \quad (7), \quad \theta(y) = \frac{E^2}{GJ^4 \pi^2} \sum_{n=1}^{\infty} \frac{1}{n^2} M_{en} \sin \beta_n y \quad (8)$$

ここに、 $GJ$  部材列の振り剛性

$$H_n = \frac{2}{E} \int_0^a f(y) \sin \beta_n y - \frac{2}{E} \sum_{j=1}^l R_j \sin n \pi E_j + \frac{2 \pi \nu}{E} \sum_{j=0}^{l-1} M_j \cos n \pi E_j$$

$EI$  部材列の曲げ剛性、

$$M_{en} = \frac{2}{E} \int_0^a M_b(y) \sin \beta_n y - \frac{2}{E} \sum_{j=1}^l M_{bj} \sin n \pi E_j$$

(1) す一般に、邊  $A, C, B, D$  に  $J; IT3$  板を支持する部材列をそれぞれ  $(y+1), (x+1)$  スパンとし、部材列の受けける反力、反力をモーメント、および部材列端のモーメントをそれぞれ  $R_1, R_2, \dots, R_l, R_e; M_{1x}, M_{1y}, \dots, M_{lx}, M_{ly}, M_{1g}, M_{2g}, \dots, M_{ig}, M_{eg}; R_1^b, R_2^b, \dots, R_l^b, M_{1x}^b, M_{1y}^b, \dots, M_{lx}^b, M_{ly}^b; M_{1g}^b, M_{2g}^b, M_{eg}^b$  とする。(2) かくとき、式(7),(8)は  $J; IT3$  の代りに式(5)に示す  $V_A(y), V_B(y)$  を、すなはち  $M_{bg}, M_{bgg}$  の代りに式(3)に示す  $M_{A(y)}, M_{B(y)}$  を用ひ、かつ  $\delta$  の代りに  $\delta + \delta_{bg}$  を採用すれば、邊  $A, C, B, D$  に  $J; IT3$  部材列のたわみ曲線  $S_A(y), S_B(y)$  すなはち振れ回転角  $\theta_A(y), \theta_B(y)$  が次の式とくえらる。

$$\begin{aligned} S_A(y) &= \frac{E^2}{EI^4 \pi^2} \sum_{n=1}^{\infty} \frac{1}{n^2} H_A^n \sin \beta_n y \quad (9), \quad \theta_A(y) = \frac{E^2}{GJ^4 \pi^2} \sum_{n=1}^{\infty} \frac{1}{n^2} M_{en}^A \sin \beta_n y \quad (10) \quad \text{すなはち } EAE, EBE, GJA, GJB, \text{ 邊 } AC, BD \text{ の部材列} \\ S_B(y) &= \frac{E^2}{EI^4 \pi^2} \sum_{n=1}^{\infty} \frac{1}{n^2} H_B^n \sin \beta_n y \quad (9), \quad \theta_B(y) = \frac{E^2}{GJ^4 \pi^2} \sum_{n=1}^{\infty} \frac{1}{n^2} M_{en}^B \sin \beta_n y \quad (10) \quad \text{の曲げ剛性および振り剛性} \end{aligned}$$

$$H_A^n = V_A - \frac{2}{E} \sum_{j=1}^l R_j^n \sin n \pi E_j + \frac{2 \pi \nu}{E} \sum_{j=0}^{l-1} M_{bj}^A \cos n \pi E_j$$

$$H_B^n = V_B - \frac{2}{E} \sum_{j=1}^l R_j^n \sin n \pi E_j + \frac{2 \pi \nu}{E} \sum_{j=0}^{l-1} M_{bj}^B \cos n \pi E_j$$

$$M_{en}^A = M_{en} - \frac{2}{E} \sum_{j=1}^l M_{bj}^A \sin n \pi E_j$$

$$M_{en}^B = M_{en} - \frac{2}{E} \sum_{j=1}^l M_{bj}^B \sin n \pi E_j$$

(1) かくとき、前述の板と部材列との間に成立する連続条件(1)(ii)より、式(9)と式(10)とを、すなはち式(10)と  $(\partial w/\partial x)_{x=0}, (\partial w/\partial x)_{x=a}$  を等置し係数比較すれば、 $S_A, S_B, M_{en}, M_{en}^A, V_A, V_B$  は(1)の4つの関係式がえ

され、これらに式(6)を加え六元連立方程式を解いて $T_A, T_B, S_{AB}, S_{BC}, M_{AB}, M_{BC}$ を決定する。

$$\begin{aligned} T_A &= -\frac{x_A}{n^2 \pi^2 A} \sum_{k=1}^{\infty} M_{Ax}^k \sin(k\pi x) - \frac{x_B}{n^2 \pi^2 B} \sum_{k=1}^{\infty} M_{Bx}^k \sin(k\pi x) + \frac{G}{H} \sum_{k=1}^{\infty} R_x^k \sin(k\pi x) - \frac{E}{H} \sum_{k=1}^{\infty} R_y^k \sin(k\pi x) - \frac{G}{H} \sum_{k=1}^{\infty} M_y^k \cos(k\pi x) \\ &+ \frac{E}{H} \sum_{k=1}^{\infty} M_y^k \cos(k\pi x) + \frac{1}{n^2 \pi^2 T} \sum_{m=1}^{\infty} \{A + (-1)^m B\} \frac{x_m G_m}{H} + \sum_{m=1}^{\infty} \{J - (-1)^m E\} \{G_m^2 + (2-\nu) B_m^2\} \frac{x_m G_m}{H} \end{aligned} \quad (11)$$

$$\begin{aligned} T_B &= -\frac{x_A}{n^2 \pi^2 A} \sum_{k=1}^{\infty} M_{Ax}^k \sin(k\pi x) - \frac{x_B}{n^2 \pi^2 B} \sum_{k=1}^{\infty} M_{Bx}^k \sin(k\pi x) - \frac{E}{H} \sum_{k=1}^{\infty} R_x^k \sin(k\pi x) + \frac{G}{H} \sum_{k=1}^{\infty} R_y^k \sin(k\pi x) + \frac{E}{H} \sum_{k=1}^{\infty} M_y^k \cos(k\pi x) \\ &- \frac{G}{H} \sum_{k=1}^{\infty} M_y^k \cos(k\pi x) - \frac{1}{n^2 \pi^2 T} \sum_{m=1}^{\infty} \{A + (-1)^m B\} \frac{x_m G_m}{H} + \sum_{m=1}^{\infty} \{E - (-1)^m J\} \{G_m^2 + (2-\nu) B_m^2\} \frac{x_m G_m}{H}, \end{aligned} \quad (11)$$

$$\begin{aligned} D_{AB} &= -\frac{2G^2 A}{n^2 \pi^2 A} \sum_{k=1}^{\infty} M_{Ax}^k \sin(k\pi x) - \frac{2G^2 B}{n^2 \pi^2 B} \sum_{k=1}^{\infty} M_{Bx}^k \sin(k\pi x) - \frac{2G^2 A}{n^2 \pi^2 H} \sum_{k=1}^{\infty} R_x^k \sin(k\pi x) - \frac{2G^2 B}{n^2 \pi^2 H} \sum_{k=1}^{\infty} R_y^k \sin(k\pi x) \\ &- \frac{2G^2 A}{n^2 \pi^2 H} \sum_{k=1}^{\infty} M_y^k \cos(k\pi x) + \frac{2G^2 B}{n^2 \pi^2 H} \sum_{k=1}^{\infty} M_y^k \cos(k\pi x) + \frac{G^2 A}{n^2 \pi^2 T} \sum_{m=1}^{\infty} \{A + (-1)^m B\} \frac{x_m G_m}{H} + \frac{G^2 B}{n^2 \pi^2 T} \sum_{m=1}^{\infty} \{J - (-1)^m E\} \{G_m^2 + (2-\nu) B_m^2\} \frac{x_m G_m}{H} \end{aligned} \quad (12)$$

$$\begin{aligned} D_{AB} &= \frac{2G^2 A}{n^2 \pi^2 A} \sum_{k=1}^{\infty} M_{Ax}^k \sin(k\pi x) + \frac{2G^2 B}{n^2 \pi^2 B} \sum_{k=1}^{\infty} M_{Bx}^k \sin(k\pi x) - \frac{2G^2 A}{n^2 \pi^2 H} \sum_{k=1}^{\infty} R_x^k \sin(k\pi x) + \frac{2G^2 B}{n^2 \pi^2 H} \sum_{k=1}^{\infty} R_y^k \sin(k\pi x) \\ &+ \frac{2G^2 A}{n^2 \pi^2 H} \sum_{k=1}^{\infty} M_y^k \cos(k\pi x) - \frac{2G^2 B}{n^2 \pi^2 H} \sum_{k=1}^{\infty} M_y^k \cos(k\pi x) + \frac{G^2 A}{n^2 \pi^2 T} \sum_{m=1}^{\infty} \{A - (-1)^m B\} \frac{x_m G_m}{H} + \frac{G^2 B}{n^2 \pi^2 T} \sum_{m=1}^{\infty} \{E - (-1)^m J\} \{G_m^2 + (2-\nu) B_m^2\} \frac{x_m G_m}{H} \end{aligned} \quad (12)$$

$$\begin{aligned} M_{AB} &= -\frac{x_A}{n^2 \pi^2 A} \sum_{k=1}^{\infty} M_{Ax}^k \sin(k\pi x) - \frac{x_B}{n^2 \pi^2 B} \sum_{k=1}^{\infty} M_{Bx}^k \sin(k\pi x) - \frac{2 \bar{R}}{n^2 \pi^2 T} \sum_{k=1}^{\infty} R_x^k \sin(k\pi x) + \frac{2 \bar{R}}{n^2 \pi^2 T} \sum_{k=1}^{\infty} R_y^k \sin(k\pi x) \\ &+ \frac{2 \bar{R}}{n^2 \pi^2 T} \sum_{k=1}^{\infty} M_y^k \cos(k\pi x) - \frac{2 \bar{R}}{n^2 \pi^2 T} \sum_{k=1}^{\infty} M_y^k \cos(k\pi x) + \frac{1}{n^2 \pi^2 T} \sum_{m=1}^{\infty} \{A + (-1)^m B\} \{G_m^2 + (2-\nu) B_m^2\} \frac{x_m G_m}{H} \end{aligned} \quad (13)$$

$$\begin{aligned} M_{AB} &= -\frac{x_A}{n^2 \pi^2 A} \sum_{k=1}^{\infty} M_{Ax}^k \sin(k\pi x) - \frac{x_B}{n^2 \pi^2 B} \sum_{k=1}^{\infty} M_{Bx}^k \sin(k\pi x) - \frac{2 \bar{R}}{n^2 \pi^2 T} \sum_{k=1}^{\infty} R_x^k \sin(k\pi x) + \frac{2 \bar{R}}{n^2 \pi^2 T} \sum_{k=1}^{\infty} R_y^k \sin(k\pi x) \\ &+ \frac{2 \bar{R}}{n^2 \pi^2 T} \sum_{k=1}^{\infty} M_y^k \cos(k\pi x) - \frac{2 \bar{R}}{n^2 \pi^2 T} \sum_{k=1}^{\infty} M_y^k \cos(k\pi x) + \frac{1}{n^2 \pi^2 T} \sum_{m=1}^{\infty} \{A + (-1)^m B\} \{G_m^2 + (2-\nu) B_m^2\} \frac{x_m G_m}{H} \end{aligned} \quad (13)$$

ここで、 $x_A = ED/(E^2 I_A)$ ,  $x_B = ED/(E^2 I_B)$ ,  $\bar{R}_A = GAJ^2/(E^2 I_A^2)$ ,  $\bar{R}_B = GAJ^2/(E^2 I_B^2)$ であり、大文字はアルファベット文字で、ギリシャ文字はすべて自然数である。Stiffness Parameters  $x_A, x_B, \bar{R}_A, \bar{R}_B$  の関数である。

もし何らかの方法により部材行列に作用する柱の反力および反力モーメント  $R_x^k, R_y^k, M_{Ax}^k, M_{Bx}^k, M_y^k, M_{By}^k$  が明らかとなれば、これらを式(12), (13)に代入し、さらに式(4)に代入して求められる積分定数を式(1)に代入すれば、本題の矩形板のたわみ曲面  $w$  がえられることがなる。また、えられた  $w$  を適宜  $x, y$  に  $\rightarrow$  して偏微分することにより、矩形板の任意点における諸変位、たすび諸断面力が解明される。

## (2) 基本連立方程式の誘導

辺 AC, BD における  $\bar{R}_A, \bar{R}_B, M_{Ax}^k, M_{Bx}^k$  と  $\bar{R}_A, \bar{R}_B, M_{Ay}^k, M_{By}^k$  における各中間の柱部材の変位量と反力、反力モーメントおよび回転角との関係式は文献(3), (4) および次のとくえられる。

$$\begin{aligned} \sum_k \bar{D}_k^A R_x^k - \frac{n^2}{8} \sum_k \bar{D}_k^A M_{Ax}^k &= \frac{G}{2} \bar{D}_k^A + F^2 d_k^A, \quad k=1, 2, \dots, r \\ \sum_k \bar{D}_k^B R_x^k - \frac{n^2}{8} \sum_k \bar{D}_k^B M_{Ax}^k &= \frac{G}{2} \bar{D}_k^B - F^2 d_k^B, \quad k=0, 1, \dots, r+1 \\ \frac{1}{8} \sum_k \bar{D}_k^A M_{Ax}^k &= \bar{U}_k^A + K^A \theta_k^A, \quad k=1, 2, \dots, r \quad (14) \\ \sum_k \bar{D}_k^B R_y^k - \frac{n^2}{8} \sum_k \bar{D}_k^B M_{Ay}^k &= \frac{G}{2} \bar{D}_k^B + F^2 d_k^B, \quad k=1, 2, \dots, r \\ \sum_k \bar{D}_k^B R_y^k - \frac{n^2}{8} \sum_k \bar{D}_k^B M_{Ay}^k &= \frac{G}{2} \bar{D}_k^B - F^2 d_k^B, \quad k=0, 1, \dots, r+1 \\ \frac{1}{8} \sum_k \bar{D}_k^B M_{Ay}^k &= \bar{U}_k^B + K^B \theta_k^B, \quad k=1, 2, \dots, r \end{aligned}$$

$$\begin{aligned} \bar{D}_k^A &= \sum_{m=1}^{\infty} \frac{1}{n^2 \pi^2 m} \sin(m\pi x) \sin(m\pi x), \quad \bar{D}_{k+1}^A = \sum_{m=1}^{\infty} \frac{1}{n^2 \pi^2 m} \sin(m\pi x) \cos(m\pi x), \quad \bar{D}_k^B = \sum_{m=1}^{\infty} \frac{1}{n^2 \pi^2 m} \cos(m\pi x) \sin(m\pi x), \\ \bar{D}_k^B &= \sum_{m=1}^{\infty} \frac{1}{n^2 \pi^2 m} \cos(m\pi x) \cos(m\pi x), \quad \bar{D}_{k+1}^B = \sum_{m=1}^{\infty} \frac{1}{n^2 \pi^2 m} \cos(m\pi x) \sin(m\pi x), \quad \bar{D}_k^A = \sum_{m=1}^{\infty} \frac{2}{n^2 \pi^2 m} \sin(m\pi x) \sin(m\pi x), \\ \bar{D}_k^A &= \sum_{m=1}^{\infty} \frac{V_m}{n^2 \pi^2 m} \sin(m\pi x), \quad \bar{D}_k^B = \sum_{m=1}^{\infty} \frac{V_m}{n^2 \pi^2 m} \cos(m\pi x), \quad \bar{D}_k^A = \sum_{m=1}^{\infty} \frac{V_m}{n^2 \pi^2 m} \sin(m\pi x), \\ \bar{D}_k^B &= \sum_{m=1}^{\infty} \frac{V_m}{n^2 \pi^2 m} \cos(m\pi x), \quad \bar{D}_k^A = \sum_{m=1}^{\infty} \frac{V_m}{n^2 \pi^2 m} \sin(m\pi x), \quad \bar{D}_k^B = \sum_{m=1}^{\infty} \frac{V_m}{n^2 \pi^2 m} \cos(m\pi x), \quad V_m = \frac{M_{Ax}^k}{n^2 \pi^2 m}, \quad V_m = \frac{M_{Ay}^k}{n^2 \pi^2 m}, \quad V_m = \frac{Q_k^A}{n^2 \pi^2 m}, \quad V_m = \frac{Q_k^B}{n^2 \pi^2 m}, \quad F^2 = E^2 I_A \pi^2 / (2\theta^2), \quad F^2 = E^2 I_B \pi^2 / (2\theta^2), \quad K^A = GAJ^2 / B^2, \quad K^B = GBJ^2 / B^2, \end{aligned}$$

$d_k^A, d_k^B$  辺 AC, BD における部材行列を支える各柱部材の垂直変位量。

$\theta_k^A, \theta_k^B$  辺 AC, BD における部材行列の各節点の x, y 軸方向の回転角。

式(11), (13) は式(14)に代入し、演算のうえ整理すれば、本題の基本連立方程式が次のとくえられる。

$$\begin{aligned} \sum_k (\bar{D}_k^A - \bar{P}_k^A) R_x^k + \sum_k \bar{P}_k^A R_x^k - \frac{n^2}{8} \sum_k (\bar{D}_k^A - \bar{P}_k^A) M_{Ax}^k - \frac{n^2}{8} \sum_k \bar{P}_k^A M_{Ax}^k + \frac{1}{8} \sum_k \bar{D}_k^A M_{Ax}^k + \frac{1}{8} \sum_k \bar{D}_k^A M_{Bx}^k &= \bar{P}_k^A + F^2 d_k^A, \quad k=1, 2, \dots, r \\ \sum_k (\bar{D}_k^B - \bar{P}_k^B) R_y^k + \sum_k \bar{P}_k^B R_y^k - \frac{n^2}{8} \sum_k (\bar{D}_k^B - \bar{P}_k^B) M_{Ay}^k - \frac{n^2}{8} \sum_k \bar{P}_k^B M_{Ay}^k + \frac{1}{8} \sum_k \bar{D}_k^B M_{Ay}^k + \frac{1}{8} \sum_k \bar{D}_k^B M_{By}^k &= \bar{P}_k^B - F^2 d_k^B, \quad k=0, 1, \dots, r+1 \end{aligned}$$

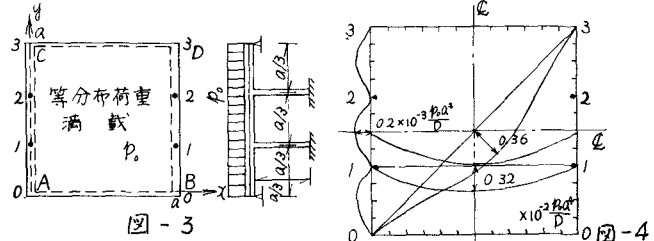
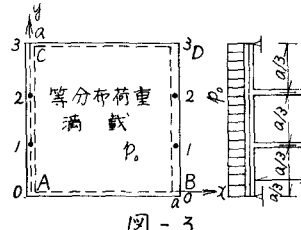
$$\begin{aligned} & \sum_{j=1}^n \lambda_{jk} R_j^k - \frac{2}{L} \sum_{j=1}^n \lambda_{jk} M_{jx}^k + \frac{1}{L} \sum_{j=1}^n \lambda_{jk} M_{jy}^k + \frac{1}{L} \sum_{j=1}^n (\bar{U}_{jk} + \bar{V}_{jk}) M_{jx}^k + \frac{1}{L} \sum_{j=1}^n \bar{X}_{jk} M_{jy}^k = S_{jk}^k + \frac{k^2}{2} \partial_{xx}, \quad j=1, 2, \dots, n \\ & \sum_{j=1}^n P_{jk} R_j^k + \sum_{j=1}^n (D_{jk} - P_{jk}) R_j^k - \frac{2}{L} \sum_{j=1}^n \Gamma_{jk} M_{jx}^k - \frac{2}{L} \sum_{j=1}^n (\bar{D}_{jk} - \bar{\Gamma}_{jk}) M_{jy}^k - \frac{1}{L} \sum_{j=1}^n \bar{M}_{jx}^k - \frac{1}{L} \sum_{j=1}^n \bar{M}_{jy}^k = P_{jk}^k + F^k d_{jk}^k, \quad j=1, 2, \dots, n \\ & \sum_{j=1}^n Q_{jk} R_j^k + \sum_{j=1}^n (D_{jk} - Q_{jk}) R_j^k - \frac{2}{L} \sum_{j=1}^n \Omega_{jk} M_{jx}^k - \frac{2}{L} \sum_{j=1}^n (\bar{D}_{jk} - \bar{\Omega}_{jk}) M_{jy}^k - \frac{1}{L} \sum_{j=1}^n \bar{\Omega}_{jk} M_{jx}^k - \frac{1}{L} \sum_{j=1}^n \bar{\Omega}_{jk} M_{jy}^k = Q_{jk}^k - F^k \theta_{jk}^k, \quad j=0, 1, \dots, n+1 \\ & \sum_{j=1}^n \lambda_{jk} R_j^k - \sum_{j=1}^n \lambda_{jk} M_{jx}^k + \frac{1}{L} \sum_{j=1}^n \lambda_{jk} M_{jy}^k + \frac{1}{L} \sum_{j=1}^n \bar{X}_{jk} M_{jx}^k + \frac{1}{L} \sum_{j=1}^n (\bar{U}_{jk} + \bar{X}_{jk}) M_{jy}^k = S_{jk}^k + \frac{k^2}{2} \theta_{jk}^k, \quad j=1, 2, \dots, n \end{aligned} \quad (15)$$

ここに式(15)左辺の諸係数は形状定数と称すべきものであり、矩形板の逆長比( $u = b/a$ )、ラーメンの中間柱部材の位置、部材列の Stiffness Parameter  $\lambda_{jk}, \kappa_{jk}, p_{jk}, f_{jk}$  は、 $F^k$  定数と定数である。また、右辺の  $P_{jk}, Q_{jk}, S_{jk}, P_{jk}^k, Q_{jk}^k, S_{jk}^k$  は、矩形板に作用する重直荷重により決まる荷重項である。

式(15)全体で  $(3J+3A+4)$  元の連立方程式となるが、部材列の各節点と他の条件より  $R, J, I, d, M$  は  $J$  の値より一方が判明するか、あるいは  $R$  と  $d$ 、 $M$  と  $\theta$  の関係が明らかとなるか、条件式と未知数の数とが一致し連立方程式が解けることとなる。また、図-1 に示すとおりラーメンの場合には、式(15)の基本連立方程式の他に部材列上の節点を除くすべての節点との節点方程式、各層の層方程式、および周辺の支持条件式をたし、これらを一体とする連立方程式を解くことにより、ラーメンの応力が求められる。

### 3 計算例

図-3 に示すとく、正方形板  $ABCD$  が辺  $AC, BD$  上に板と  $\Pi$  型ラーメン構造とし、この部材列と直結し、荷重強度  $p_0$  が 3 等分布荷重を満載するものとする。



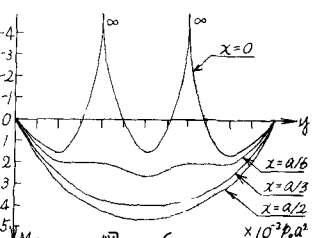
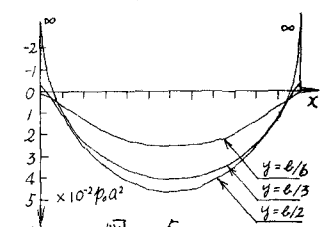
また、ラーメンの支点、節点  $i=13$ 、辺  $AB$  側より順に  $0, 1, 2, 3$  の番号を付す。1から3とき、基本連立方程式式(15)は12元連立方程式となり、これに  $\lambda_{14} = \kappa_{14} = 50, p_{14} = f_{14} = 0.649$  の場合の形状定数および荷重項を代入し、さらに部材列の各節点が沈下しないものとすれば、ラーメンの応力が求められ次のとく算出される。

$$\begin{aligned} R_{14}^k &= R_{24}^k = R_{34}^k = 0.1375 p_0 a^2 \\ -M_{14}^k &= M_{24}^k = M_{34}^k = 0.00243 p_0 a^3 \\ -M_{44}^k &= M_{54}^k = M_{64}^k = 0.1187 \times 10^{-4} p_0 a^3 \end{aligned} \quad (16)$$

式(16)の諸値を用いて式(1)を計算すれば、本例の矩形板のたわみが

図-4 のとくえられる。すなはち、

$x, y$  軸方向の曲げモーメントを算出すれば、図-5, 6 が得られ、 $M_x$  は図-5,  $M_y$  は図-6 が得られる。



4 結語 本法は、板のたわみ曲面  $w$  が板を支持するラーメン中の柱反力、反力モーメントの一次式で表わされると、これらの反力、反力モーメントは一般に、式(15)の多元連立一次方程式を解くだけの簡単な操作により求まる点すぐれた特色をもつ。また、板のたわみ曲面  $w$  および  $M_x, M_y$  は部材列の近傍をのぞいて収斂が早く充分実用に供うる。なお、本文中の式で  $p_A = p_B = 0$  とすれば、文献(1), (2)の理論解と当然ながら一致する。

参考文献：(1) 山崎 橋木会員：一端の連続(り)弹性支承され、他端でか簡単支持された矩形板の解法、九大工学雑誌第40巻第4号(昭和42年7月)。(2) 山崎 橋木会員：一端がラーメン(り)弹性支承され、他端でか簡単支持された矩形板の解法、九大工学雑誌第40巻第6号(昭和42年1月)。(3) 山崎 橋木：フーリエ級数による連続(り)およびラーメン(り)の解法、九大工学雑誌、第39巻第2号(昭和41年9月)。(4) 山崎 橋木：フーリエ級数による立体ラーメン(り)解法、土木学会第22回年次学術講演会講演概要(昭和42年5月)